# 10 Révision théorie des mécanismes

## 10.1 Mécanisme de réglage : (approche globale)

### I Présentation:

Cette solution technique est utilisée notamment pour certains types de crics qui permettent le levage de véhicules grâce à la rotation d'une manivelle autour d'un axe horizontal.

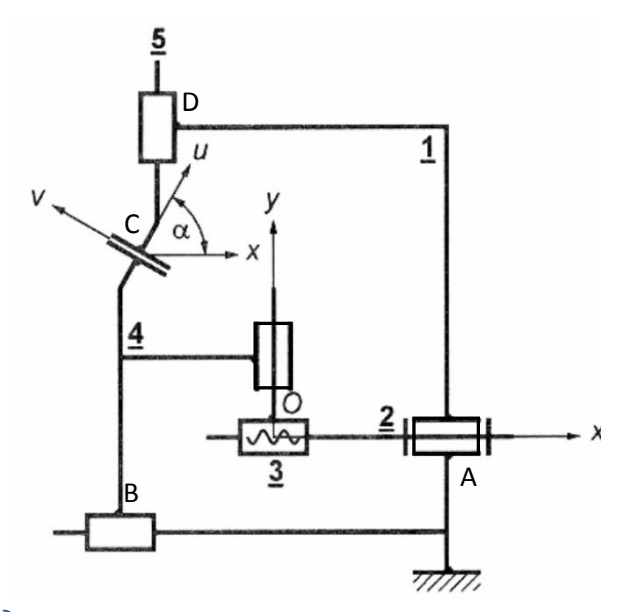
Ainsi, il transforme la rotation de la pièce 2 en une translation de la pièce 5.

### II Travail demandé:

Q1- Tracer le graphe des liaisons du mécanisme.

Q2- Déterminer le degré d'hyperstaticité du mécanisme.

Q3- Comment modifier les liaisons pour que le système ne soit pas hyperstatique.



### 10.2 Machine à coudre : (approche globale)

#### I Présentation:

a: manivelle

b: bielle

Les machines à coudre traditionnelles utilisaient un système bielle manivelle glisseur pour transformer la rotation du moteur en un mouvement de va et vient linéaire. La ci-dessous représente le schéma cinématique de ce système.

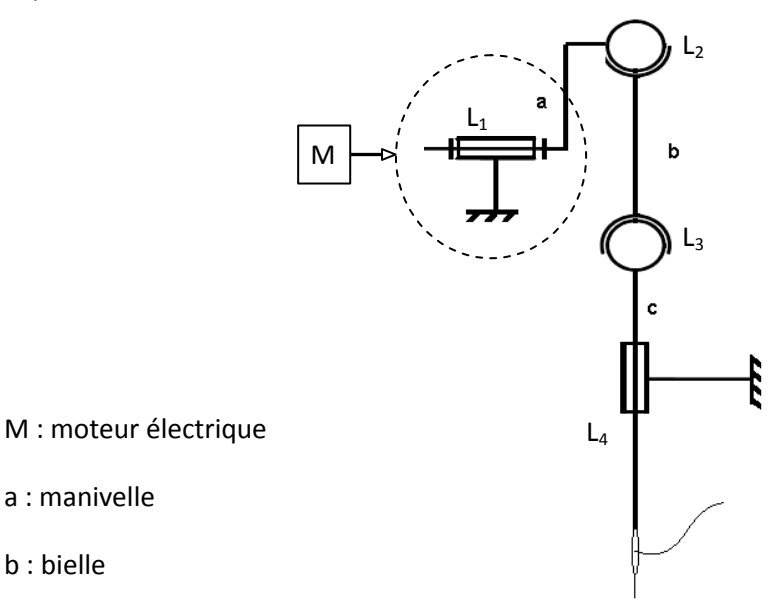


Schéma cinématique d'une machine à coudre

### II Travail demandé:

Q1- Citer les types de liaison qui lient les différentes parties du système entre elles et au bâti.

**Q2-** Indiquer le nombre de degré de liberté de chacune des liaisons et en déduire le nombre d'inconnues qui y correspondent.

**Q3-** Calculer le degré d'hyperstaticité du système tout en définissant, si elles existent, les mobilités internes et utiles du système.

En réalité, le glisseur « c »est de section carrée pour éviter l'enroulement du fil autour de l'aiguille, ce qui implique de changer la liaison L<sub>4</sub>.

Q4- Quelle doit être le type de liaison L4 afin de satisfaire cette nouvelle fonction ?

Q5- Quel est le nouveau degré d'hyperstaticité ?

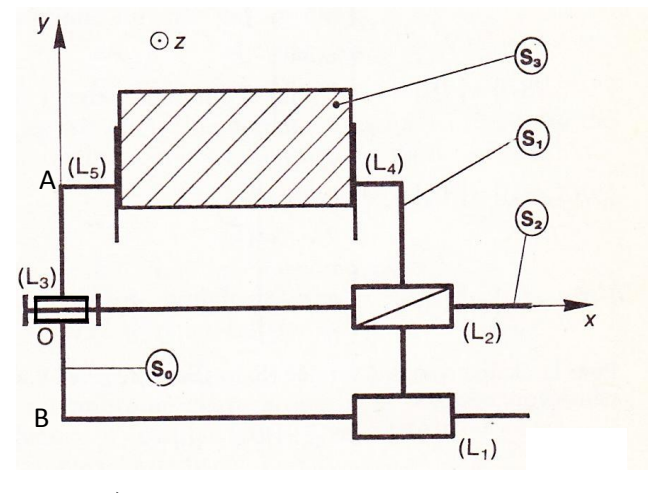
### 10.3 Etau à serrage manuel : (approche analytique)

### I Présentation:

Soit  $R(O; \vec{x}, \vec{y}, \vec{z})$  un repère lié au mors fixe  $(S_0)$  de l'étau. Le mors mobile  $(S_I)$  a une liaison glissière  $(L_I)$  de direction  $\vec{x}$  avec  $(S_0)$ .

La vis de manœuvre  $(S_2)$  a une liaison pivot  $(L_3)$  d'axe  $(O; \vec{x})$  avec  $(S_0)$ , et une liaison hélicoïdale  $(L_2)$  d'axe  $(O; \vec{x})$  avec  $(S_1)$ .

Les liaisons de la pièce  $(S_3)$  avec le mors fixe  $(S_0)$  et le mors mobile  $(S_I)$  sont, respectivement, deux liaisons planes de normale  $\vec{x}: (L_5)$  et  $(L_4)$ 



 $\overrightarrow{OA} = d \cdot \overrightarrow{y}$  et  $\overrightarrow{OB} = -c \cdot \overrightarrow{y}$ 

### II Travail demandé:

**Q1-** Tracer le graphes des liaisons et déterminer le nombre de chaines continues fermées indépendantes de ce mécanisme.

**Q2-** Par une étude cinématique, déterminer le degré de mobilité de la chaine complexe. En déduire son degré d'hyperstatisme.

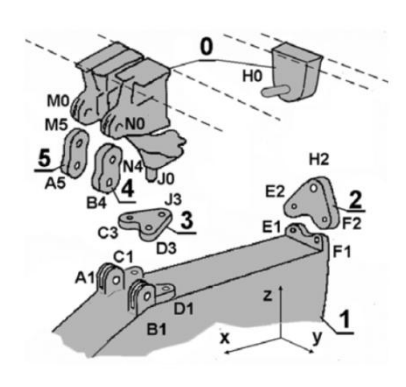
**Q3-** Par une étude statique, déterminer les inconnues hyperstatiques du mécanisme. A quelles conditions dimensionnelles et angulaires de position relative des liaisons correspondent-elles ?

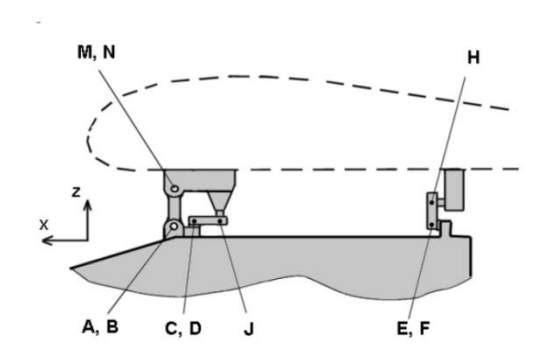
### 10.4 Système d'attache mat réacteur A320 :

### I Présentation:

L'étude porte sur la solution d'assemblage choisie entre le mât-réacteur et l'aile de l'avion A320 (figure ci-contre). La figure ci-dessous à gauche présente les différentes pièces de cet assemblage ; la figure ci-dessous à droite présente la disposition des liaisons dans le plan  $(\vec{x}, \vec{z})$ .







Le mât-réacteur (1) est suspendu à l'aile (0) grâce aux deux biellettes (4) et (5). Les articulations réalisées aux points A, B, N et M sont considérées comme des liaisons «sphériques». On donne :  $\overrightarrow{AM} = \overrightarrow{BN} = a \cdot \overrightarrow{z}$ 

Les mouvements du mât-réacteur (1) par rapport à l'aile (0) sont stoppés par la présence de deux triangles (2) et (3). Le triangle (2) est articulé sur (1) par deux liaisons «sphériques» de centres E et F, et sur (0) par une liaison «sphérique» de centre H. On donne :

$$\overrightarrow{EF} = e \cdot \overrightarrow{y}$$
 et  $\overrightarrow{EH} = \frac{1}{2} e \cdot \overrightarrow{y} + h \cdot \overrightarrow{z}$ 

Le triangle (3) est articulé sur (1) par deux liaisons «sphériques» de centres C et D, et sur (0) par une liaison « sphérique » J. On donne :

$$\overrightarrow{CD} = c \cdot \vec{y}$$
 et  $\overrightarrow{CJ} = c \cdot \vec{y} - j \cdot \vec{x}$ 

#### II Travail demandé:

Q1- Réaliser le graphe des structures.

**Q2**- Déterminer la liaison équivalente entre (1) et (0) réalisée par la biellette (4) puis par la biellette (5).

Q3- Déterminer la liaison équivalente réalisée entre (1) et (0) par le triangle (2) puis par le triangle (3).

**Q4-** Tracer en perspective le schéma architectural de l'assemblage du mât (1) sur l'aile (0) en utilisant les modèles des liaisons équivalentes déterminées aux questions précédentes.

**Q5**- Déterminer le degré d'hyperstatisme de l'assemblage (1)/(0). Justifier l'intérêt du résultat en raisonnant sur les dilatations provoquées par des températures et des matériaux différents pour l'aile et le mât-réacteur.